

## КВАНТОВЫЕ КАПИЛЛЯРНЫЕ ВОЛНЫ — КОЛЛЕКТИВНЫЕ ВОЗБУЖДЕНИЯ КАПЛИ ФЕРМИ-ЖИДКОСТИ

Э.Е. Саперштейн, С.В. Толоконников, С.А. Фалкс,  
В.А. Ходель

Показано, что низколежащие коллективные состояния атомных ядер принадлежат к новой ветви коллективных возбуждений капли ферми-жидкости — квантовым капиллярным волнам.

В работе [1] было показано, что в капле ферми-жидкости при температуре  $T = 0$  помимо нуль-звуковых колебаний имеется еще одна ветвь коллективных возбуждений — квантовые капиллярные волны (капоны). Эти возбуждения во многом похожи на обычные классические поверхностные колебания капли, но при малых моментах  $L \sim 1$  в них существенно проявляются квантовые эффекты. Наблюдение этих эффектов в  ${}^3\text{He}$  возможно, когда длина пробега квазичастиц сравнивается с радиусом  $R$  капли, но для этого требуются слишком низкие температуры ( $T \lesssim 10^{-4}\text{K}$  при  $R = 1 \text{ см}$ ). Поэтому наиболее подходящим объектом для исследования капонов являются атомные ядра.

В данной работе рассчитываются характеристики ряда низколежащих коллективных состояний (НКС) ядер и показывается, что они могут быть интерпретированы как квантовые капиллярные волны. Свойства НКС определяются амплитудой перехода  $g_L$ , подчиняющейся уравнению [2]

$$g_L^i(r; \omega) = \int F_L^{ik}(r, r') A_L^k(r', r''); \omega) g_L^k(r'', \omega) dr' dr'' \quad (1)$$

Здесь  $F_L$  и  $A_L$  — гармоники по углу между  $r$  и  $r'$  амплитуды взаимодействия квазичастиц  $F$  и частично-дырочного пропагатора  $A$ , а  $dr = r^2 dr$ ;

$$A_L(r, r'; \omega) = \int G(r, r'; \epsilon + \frac{\omega}{2}) G(r', r; \epsilon - \frac{\omega}{2}) p_L(nn') \frac{d\epsilon}{2\pi i} \frac{dn dn'}{4\pi} =$$

$$= \sum_{nlj l' j'} C_L^{lj l' j'} n_{nlj} R_{nlj}(r) R_{nlj}(r') [G_{lj j'}(r, r'; \epsilon_{nlj} + \omega) + G_{lj j'}(r, r'; \epsilon_{nlj} - \omega)], \quad (2)$$

где  $C_L^{lj l' j'}$  – угловой коэффициент, содержащий  $3j$ - и  $6j$ -символы,  $R_{nlj}$  – радиальные 1-частичные волновые функции,  $n_{nlj}$  – числа заполнения квазичастиц; гриновская функция квазичастицы

$$G_{lj}(r, r'; \epsilon) = \frac{1}{r r' W_{lj}(\epsilon)} y_{1lj}(r_{<}; \epsilon) y_{2lj}(r_{>}; \epsilon), \quad (3)$$

$y_1$  и  $y_2$  – независимые решения радиального уравнения Шредингера  $(-\frac{1}{2m^*} \frac{\partial^2}{\partial r^2} + U_{lj}(r)) y_{lj}(r; \epsilon) = \epsilon y_{lj}(r; \epsilon)$  с самосогласованным потенциалом  $V_{lj}$ , а  $W_{lj}$  – вронскиан. В отличие от стандартного способа расчет  $A$  в координатном представлении по формулам (2), (3) автоматически учитывает весь непрерывный спектр 1-частичных состояний. Этот метод был предложен в [3] и позднее независимо в [4].

Зная амплитуду  $g_L$ , можно найти матрицу плотности перехода  $\rho_{os}(r, r')$  переходную плотность  $\nu_{os}(r) = \rho_{os}(r, r)$  и ток перехода

$$j_{os}(r) = \rho(r) \nu_{os}(r) = \frac{1}{2m^* i} \left[ \left( \frac{\partial}{\partial r} - \frac{\partial}{\partial r'} \right) \rho_{os}(r, r') \right]_{r \rightarrow r'}. \quad (4)$$

(здесь  $\rho(r)$  – плотность квазичастиц);  $B(EL \uparrow) = (2L + 1) [\int r^L \nu_L(r) dr]^2$ .

Метод расчета основан на последовательном учете в уравнении (1) условий самосогласования [5, 6] между эффективным взаимодействием  $F$  и самосогласованным ядерным потенциалом  $U$

$$\frac{\partial U^i}{\partial r} = \int F_{1'}^{ik}(r, r') A_1^k(r', r''); \omega = 0) \frac{\partial U^k}{\partial r''} dr' dr''. \quad (5)$$

Из сравнения (1) и (5) видно, что частота дипольных колебаний центра тяжести  $\omega_1 = 0$ , причем  $g_1(r; 0) \sim \partial U / \partial r$ . Именно эти свойства и отличают каплю ферми-жидкости – систему со спонтанным нарушением трансляционной симметрии – от системы ферми-частиц, запертых в ящике. В силу общих теорем [7] это нарушение является причиной возникновения новой ветви коллективных возбуждений. В кристалле эту ветвь образуют фононы, а в конечной ферми-системе – капоны. Детали расчета их характеристик изложены в [8]. В вычислениях используется амплитуда  $F$  с гауссовской радиальной зависимостью

$$F(r, r') = C(\sqrt{2\pi} r_G)^{-3} \exp[-(r - r')^2 / 2r_G^2] \left[ \hat{f}_{ex} + (\hat{f}_{in} - \hat{f}_{ex}) \xi \left( \frac{r + r'}{2} \right) \right], \quad (6)$$

где  $f = f + f \vec{r}_1 \vec{r}_2$ ,  $\xi(r) = [1 + \exp((r - R_{int})/a)]^{-1}$ ,  $C = 360 \text{ Мэв} \cdot \text{фм}^3$ ,  $r_G = 1 \text{ фм}$ ,  $R_{int} = 7 \text{ фм}$ ,  $a = 0,67 \text{ фм}$ ,  $f_{in} = 0,26$ ,  $f_{ex} = -2,54$ ,  $f'_{in} = f'_{ex} = 0,65$ . Такое взаимодействие воспроизводит условие самосогласования (5) с точностью порядка 10%. Параметры самосогласованного потенциала брались из [9].

В таблице и на рис. 1 – 3 приведены только результаты расчетов для  $^{208}\text{Pb}$  и  $^{40}\text{Ca}$ .

### Характеристики низколежащих коллективных состояний ядра $^{208}\text{Pb}$

Состояние	$C_L / C_L^{\text{гидр.}}$	$B_L / B_L^{\text{гидр.}}$	$\omega_L, \text{Мэв}$	$B(EL\uparrow)$ (в единицах Вайскопфа) [10]	$B(EL\uparrow)^{\text{эксп.}}$
$3^- (2,61 \text{ Мэв})$	1,95	3,55	2,56	39	$39,5 \pm 2,0$
$5^- (3,20 \text{ Мэв})$	1,68	5,20	3,18	13	$14 \pm 5$
$2^+ (4,08 \text{ Мэв})$	23,6	1,89	4,23	8	$8,1 \pm 0,5$

Полученные результаты показывают, что коллективное движение в квантовой капиллярной волне во многом похоже на классическое – в частности, амплитуды переходов  $g_L$  и переходные плотности  $\nu_L$  имеют резкий поверхностный пик (рис. 1, 2;  $g_L^{\text{Кл}} \sim \partial U / \partial r$ ,  $\nu_L^{\text{Кл}} \sim \partial \rho / \partial r$ ). Но оно отличается двумя существенными особенностями. Во-первых, оно является вихревым, и, следовательно, массовые коэффициенты  $B_L$  не совпадают с гидродинамическими  $B_L^{\text{гидр}}$  (на рис. 3 приведено радиальное распределение вихря скорости для состояния  $3^-$   $^{208}\text{Pb}$ ;  $\text{rot } v_{LM}^i(r) = \beta_L R_L^i(r) Y_{LM}(\mathbf{n})$ , где  $\beta_L$  – скорость движения границы ядра). Во-вторых, в нем важную роль играют эффекты сжимаемости, особенно сильно влияющие на жесткости  $C_L$ . Эти эффекты ответственны и за появление объемных поправок к классическому поверхностному пику в переходных плотностях.

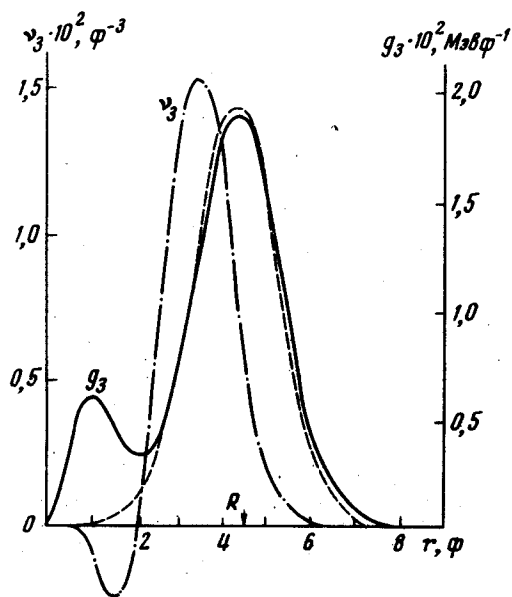


Рис. 1. Амплитуда перехода и переходная плотность для состояния  $3^- (3,73 \text{ Мэв})$  в  $^{40}\text{Ca}$ . Пунктиром показана производная  $\partial U^p / \partial r$

Хотя в переходных плотностях всех низколежащих состояний имеется пик гидродинамической природы, считать, что все они являются чистыми капоном, нельзя. Анализ показывает, что часть этих состояний представляет собой суперпозицию капонов с отдельными частично-дырочными конфигурациями (например, первое  $2^+$  состояние в  $^{208}\text{Pb}$ ). Чисто коллективными следует считать такие возбуждения, матрица плотности которых не содержит выделенного вклада какой-либо одной частично-дырочной конфигурации — это утверждение относится, разумеется, и к капонам. С этой точки зрения наиболее чистыми капонами являются первые  $3^-$  состояния в четно-четных ядрах.

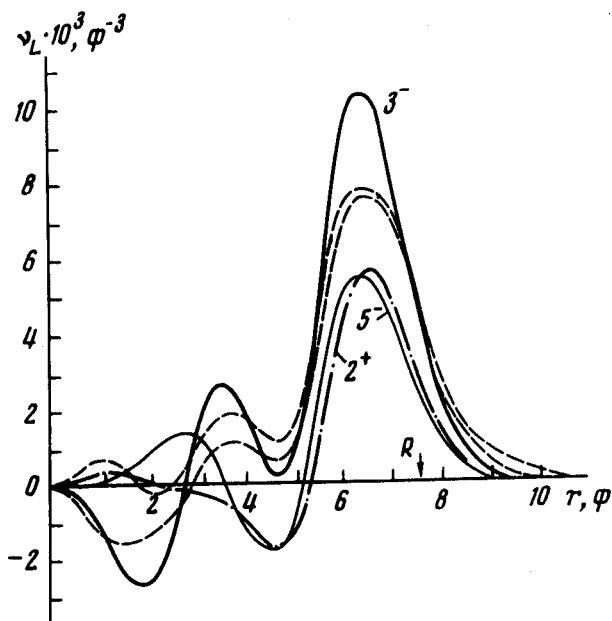


Рис. 2. Заряженные компоненты переходных плотностей для наинизших состояний в  $^{208}\text{Pb}$ . Пунктир — подгонка [11] под эксперимент по рассеянию электронов с возбуждением уровня  $3^-$

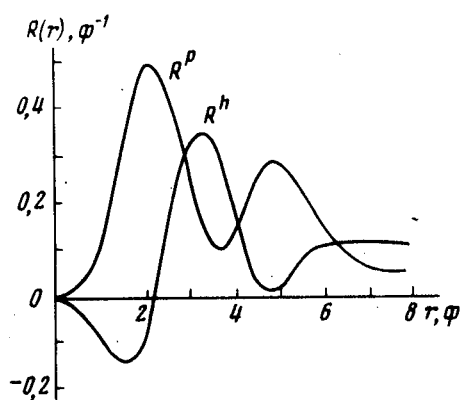


Рис. 3. Радиальное распределение вихря скорости  $\text{rot } v_{0s}(r)$  для состояния  $3^-$  в  $^{208}\text{Pb}$

Таким образом, коллективные возбуждения, аналогичные классическим капиллярным волнам, существуют и при температуре  $T = 0$ , т. е. в "антигидродинамическом" пределе, когда  $\omega\tau \gg 1$  ( $\omega$  — частота возбуждения,  $\tau$  — время жизни квазичастиц). Представляется интересным поставить эксперимент по поиску капонов в  $^3\text{He}$  — единственной макроскопической ферми-системе, где они могут существовать.

Авторы благодарны С.Т.Беляеву, В.М.Галицкому, Б.А.Румянцеву и И.А.Фомину за обсуждение.

Институт атомной энергии  
им. И.В.Курчатова

Поступила в редакцию  
19 декабря 1975 г.

### Литература

- [1] В.А.Ходель. ЯФ, 19, 792, 1974.
  - [2] А.Б.Мигдал. Теория конечных ферми-систем и свойства атомных ядер. М., изд. Наука, 1965.
  - [3] В.А.Ходель. ЯФ, 14, 961, 1971.
  - [4] S.Shlomo, G.Bertsch. Nucl. Phys., A243, 507, 1975.
  - [5] H.I.Mikeska, W.Brenig. Z. Phys., 220, 321, 1969.
  - [6] С.А.Фаянс, В.А.Ходель. Письма в ЖЭТФ, 17, 633, 1973.
  - [7] J.Goldstone. Nuovo Cim., 19, 154, 1962.
  - [8] Э.Е.Саперштейн, С.А.Фаянс, В.А.Ходель. Препринт ИАЭ-2580, 1976.
  - [9] J.Blomqvist, S.Wahlborn. Ark. fys., 16, 545, 1960.
  - [10] J.F.Ziegler, G.A.Peterson. Phys. Rev., 165, 1337, 1968.
  - [11] H.Rothhaas et al. Phys. Lett., 51B, 23, 1974.
-